

**Zeitschrift:** Schweizerische Bauzeitung  
**Herausgeber:** Verlags-AG der akademischen technischen Vereine  
**Band:** 59/60 (1912)  
**Heft:** 21

**Artikel:** Beitrag zur Berechnung kontinuierlicher Bogenträger  
**Autor:** Federhofer, Karl  
**DOI:** <https://doi.org/10.5169/seals-30087>

#### **Nutzungsbedingungen**

Die ETH-Bibliothek ist die Anbieterin der digitalisierten Zeitschriften auf E-Periodica. Sie besitzt keine Urheberrechte an den Zeitschriften und ist nicht verantwortlich für deren Inhalte. Die Rechte liegen in der Regel bei den Herausgebern beziehungsweise den externen Rechteinhabern. Das Veröffentlichen von Bildern in Print- und Online-Publikationen sowie auf Social Media-Kanälen oder Webseiten ist nur mit vorheriger Genehmigung der Rechteinhaber erlaubt. [Mehr erfahren](#)

#### **Conditions d'utilisation**

L'ETH Library est le fournisseur des revues numérisées. Elle ne détient aucun droit d'auteur sur les revues et n'est pas responsable de leur contenu. En règle générale, les droits sont détenus par les éditeurs ou les détenteurs de droits externes. La reproduction d'images dans des publications imprimées ou en ligne ainsi que sur des canaux de médias sociaux ou des sites web n'est autorisée qu'avec l'accord préalable des détenteurs des droits. [En savoir plus](#)

#### **Terms of use**

The ETH Library is the provider of the digitised journals. It does not own any copyrights to the journals and is not responsible for their content. The rights usually lie with the publishers or the external rights holders. Publishing images in print and online publications, as well as on social media channels or websites, is only permitted with the prior consent of the rights holders. [Find out more](#)

**Download PDF:** 18.02.2026

**ETH-Bibliothek Zürich, E-Periodica, <https://www.e-periodica.ch>**

INHALT: Beitrag zur Berechnung kontinuierlicher Bogenträger. — Wohnhaus Musikdirektor V. Andreae, Zürich. — Zum Gerüsteinsturz des Val Mela-Viaducts auf der Linie Bevers-Schuls der Rh. B. — Miscellanea: Gegen das Schmiergelderunwesen im Baugewerbe. Ueber Regulierschaltungen für elektromotorische Antriebe. Schmalspurbahnhof in St. Gallen. Elektrische Zugförderung auf den Vorortlinien von Paris. Die Gesamt-Versorgung von Norddeutschland mit elektrischer Energie. Straßenbrücke mit eisernem Tragbogen von 200 m Spannweite. Stirnradübertragung für Dampfturbinen im

Schiffsantrieb. Internat Konferenz für Zeitmessung. Unterirdisches Kabelnetz für Drehstrom von 30 000 Volt. Institut für Kohlenforschung. Ausbau des zweiten Simplontunnels. Eidg. Techn. Hochschule. Forchbahn (Zürich-Egg-Esslingen). Konkurrenz: Hypotheken- und Erspanskasse in Sitten. Brücke über die Saar. — Nekrologie: Professor Dr. W. Fiedler. — Korrespondenz, Literatur, Vereinsnachrichten: Schweiz. Ing. & Arch. Verein, Techn. Verein Winterthur. G. e. P.: Stellenvermittlung. Tafeln 63 bis 66: Wohnhaus Musikdirektor V. Andreae, Zürich.

## Band 60.

Nachdruck von Text oder Abbildungen ist nur mit Zustimmung der Redaktion und unter genauer Quellenangabe gestattet.

## Nr. 21.

## Beitrag zur Berechnung kontinuierlicher Bogenträger.

Von Dr.-Ing. Karl Federhofer in Graz.

Unter kontinuierlichen Bogenträgern versteht man bekanntlich die Aufeinanderfolge von Einzelbogen, deren Enden derart angeordnet sind, dass sich eine auf einen Bogen ausgeübte Wirkung den andern mitteilt; die Verbindung zweier aufeinanderfolgender Bogen — kurz Knoten genannt — und die Lagerung der einzelnen Knoten kann verschiedenartig sein; durch sie ist das Mass der Uebertragung einer Wirkung auf sämtliche Einzelbogen bestimmt.

In der vorliegenden Mitteilung werden jene kontinuierlichen Bogenträger betrachtet, deren einzelne Knoten mit auf wagrechter Bahn verschieblichen Gelenken versehen sind. Die äussersten Enden sind auf unverschieblichen Gelenken gelagert (Abbildung 1).

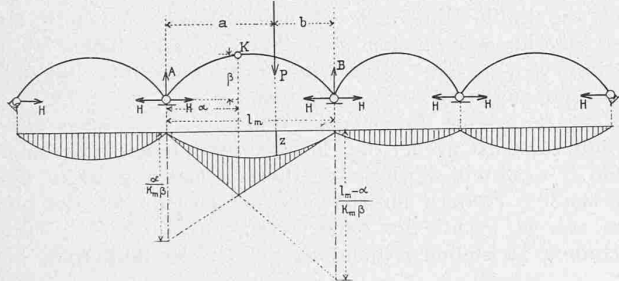


Abbildung 1.

Dieses System, nach welchem erst kürzlich die Tragkonstruktion eines bedeutenden Brückenbauwerkes ausgeführt wurde,<sup>1)</sup> und dessen analytische Untersuchung bereits mehrfach gezeigt worden ist,<sup>2)</sup> lässt sich in einfacher Art nach der von Prof. Ritter für den Bogen mit zwei Gelenken angegebenen Methode graphisch behandeln, was im Nachstehenden erörtert werden soll.

Das System ist äusserlich einfach statisch unbestimmt, der Horizontalschub  $H$  ist zunächst unbekannt und mittels der Gesetze der elastischen Formänderungen zu bestimmen. Der Vollständigkeit und Deutlichkeit wegen möge im folgenden Abschnitte bereits Bekanntes vorausgeschickt werden.

## I.

Ist der Bogen vollwandig, so gilt unter der Voraussetzung geringer Formänderung und eines über die Bogenquerschnitte geradlinigen Verlaufes der Normalspannungen der Satz:<sup>3)</sup>

Eine äussere Kraft  $R$  dreht den einen Endquerschnitt eines Elementes gegenüber dem andern um den Winkel:  $\Delta\delta = \frac{M\Delta s}{EJ}$ , worin  $M$  ihr statisches Moment hinsichtlich des Querschnittsschwerpunktes,  $\Delta s$  die Länge des Bogen-elements,  $J$  das Trägheitsmoment des Querschnittes  $F$ , und  $E$  den Elastizitätskoeffizienten des Bogenmaterials bedeuten. Der Drehpunkt, d. h. der Punkt, um den sich der eine Endquerschnitt des Elementes gegenüber dem andern

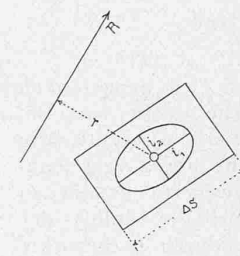


Abbildung 2.

dreht, ist der Antipol der Kraft  $R$  hinsichtlich der Elastizitätsellipse des Elements (Abbildung 2). Die Halbmesser dieser Ellipse sind bei Vernachlässigung des Einflusses der Schubkräfte gegeben durch:

$$i_1 = \frac{A s}{V_{12}}; \quad i = \sqrt{\frac{J}{F}}.$$

Aus diesem Satze wird gefolgt: <sup>4)</sup>

Die Verschiebung  $\delta_x$  eines Bogenpunktes  $A$  in der Richtung einer beliebigen Axe  $X$  beträgt:  $\frac{R \cdot \Delta s}{EJ} r \cdot u$ , worin  $u$  die Entfernung des vorhin bezeichneten Antipols von der Verschiebungsrichtung bedeutet. Zufolge der Gegenseitigkeit der Verschiebungen gilt auch:

$$\delta_x = \frac{R \cdot \Delta s}{EJ} r' \cdot y,$$

wobei  $r'$  die Entfernung des Antipols der Verschiebungsrichtung hinsichtlich der Elastizitätsellipse des Elementes von der Wirkungslinie der äusseren Kraft, und  $y$  den Abstand des Elementen-Schwerpunkts von der Verschiebungsrichtung bedeutet. Da es sich im Folgenden um die Berücksichtigung nur wagrechter Verschiebungen handelt, so stellt  $y$  die lotrechte Schwerpunktsordinate des Bogen-elementes dar, und es ergibt sich, wenn  $\frac{y \Delta s}{EJ} = \Delta w$  gesetzt wird ( $\Delta w$  = elastisches Gewicht zweiter Ordnung), für die wagrechte Verschiebung:

$$\delta_x = \Delta w R r'.$$

In Worten: Die wagrechte Verschiebung ist gleich der wirksamen Kraft mal dem statischen Moment des im Antipol der Verschiebungsrichtung wirkenden elastischen Gewichtes zweiter Ordnung in bezug auf die Kraftrichtung.

## II.

Es seien  $n$  Einzelbogen aneinandergeschlossen; die der Reihe nach mit 1 bis  $n+1$  bezeichneten Knoten sollen in einer Wagrechten liegen. Im Felde  $m$  wirke eine Einzellast  $P$  in den Abständen  $a$  und  $b$  von den Knoten dieses Feldes (Abbildung 1). Dann wird durch die Kämpfergelenke ein Horizontalschub  $H$  auf die Widerlager übertragen, der aus der Forderung, dass die Entfernung der Kämpfer sich nicht ändert, zu bestimmen ist. Da an den Knotengelenken die Momente zu Null werden, so werden die Zwischenpfeiler nur lotrecht belastet, und es berechnen sich die Reaktionen an den das belastete Feld  $m$  begrenzenden Knoten bei lotrechter Einzellast zu:

$$A = P \frac{b}{l_m} \quad \text{und} \quad B = P \frac{a}{l_m},$$

bei wagrechter Einzellast (Abbildung 3):

$$A = -B = -P \frac{a}{l_m}.$$

Zur Ermittlung der wagrechten Knotenverschiebungen teilt man die einzelnen Bogen in Elemente von der Länge  $\Delta s$  und berechnet für jedes das elastische Gewicht  $\Delta w = \frac{y \Delta s}{EJ}$ ; hierauf lässt man jedes Gewicht in dem Antipol der Bogensehne hinsichtlich der diesem Gewicht zugehörigen Elastizitätsellipse erst lotrecht, dann wagrecht wirken und verbindet diese Kräfte in jedem Felde durch zwei Seilpolygonen; die Polweite des Seileckes für die lotrecht wirkenden Gewichte eines beliebigen Feldes wählt man zweckmässig gleich der Summe der Gewichte dieses Feldes, während man die Polweite des Seileckes der wagrecht

<sup>1)</sup> Oesterreichische Wochenschrift für den öffentlichen Bau Dienst: Der Neubau der Draubrücke in Marburg a. d. Drau 1910, Heft 45.

<sup>2)</sup> Weyrauch: Elastische Bogenträger. 1911. S. 191 bis 196.

Francke: Allgemeine Bauzeitung. 1904. S. 112 ff.

Müller-Breslau: Wochenblatt für Architekten und Ingenieure. 1884.

«Handbuch der Ingenieurwissenschaften», II. Bd. Der Brückenbau.

V. Abteilung. 1906. 3. Auflage.

Ostenfeld: Zeitschr. f. Arch. & Ing.-Wesen, 1909, S. 317 ff.

<sup>3)</sup> Ritter: Anwendungen der graphischen Statik. I. Teil. S. 153. (1888.)

<sup>4)</sup> Ritter: IV. Teil. S. 59. (1906.)



Die Addition dieser Gleichungen liefert:

$$0 = -P \frac{w_m}{v} \frac{z}{\sum_{m+1}^n w_m} z - P \sum_{m+1}^n w_m + H \sum_{m+1}^n w_m,$$

woraus für den unbekannten Horizontalschub folgt:

$$H = \frac{P}{\sum_{m+1}^n w_m} \left[ \frac{w_m}{v} \cdot z + \sum_{m+1}^n w_m \right] \quad \dots \quad (5)$$

Auf das eine Widerlager wird die Kraft  $H$ , auf das andere die Kraft  $P - H = H'$  übertragen. Nach (5) ist:

$$H' = P - H = \frac{P}{\sum_{m+1}^n w_m} \left[ -\frac{w_m}{v} \cdot z + \sum_{m+1}^n w_m \right]$$

Führen wir die Seilpolygonordinate  $z'$  (Abbildung 3) ein und beachten, dass:

$$z + z' = v \cdot m_m$$

sein muss, so lässt sich obiger Ausdruck umformen zu:

$$H' = \frac{P}{\sum_{m+1}^n w_m} \left[ \frac{w_m}{v} \cdot z' + \sum_{m+1}^n w_m \right] \quad \dots \quad (6)$$

Nach (5) und (6) kann gesetzt werden:

$$H = \varepsilon_m \cdot z + \varphi_m; \quad H' = \varepsilon_m \cdot z' + \psi_m, \quad \dots \quad (7)$$

wenn zur Abkürzung die Bezeichnungen:

$$\frac{w_m}{v \sum_{m+1}^n w_m} = \varepsilon_m; \quad \frac{\sum_{m+1}^n w_m}{\sum_{m+1}^n w_m} = \varphi_m; \quad \frac{\sum_{m+1}^n w_m}{v \sum_{m+1}^n w_m} = \psi_m$$

eingeführt werden.

Aus (7) erhellt, dass die Seilpolygone der wagrecht wirkenden elastischen Gewichte bereits die Einflusslinien für  $H$  und  $H'$  darstellen, falls die Einflussordinaten in bezug auf jene Lotrechten gemessen werden, die von den durch den Polygonanfang und das Polygonende gelegten Lotrechten die Entfernung  $\frac{\varphi_m}{\varepsilon_m}$  und  $\frac{\psi_m}{\varepsilon_m}$  besitzen (siehe Abbildung 3). Der Multiplikator ist in den einzelnen Feldern in allgemeinen verschieden und beträgt im Felde  $m: \varepsilon_m$ . Es soll nun die Einflusslinie der Biegungsmomente für einen Kernpunkt des Feldes  $m$  dargestellt werden, der die Koordinaten  $a, \beta$  besitzt.

Wirkt die Last  $P = 1$  im Felde  $m$ , dann ist das Kernmoment:

$M = -A a + H \beta$ , bzw.  $M = +B(l_m - a) - H' \beta$  entsprechend den Lastlagen rechts, bzw. links des Kernquerschnittes. Mit Rücksicht auf die vorhin für  $H$  und  $H'$  angegebenen Werte entsteht:

$$M = \varepsilon_m \beta \left( z + \frac{\varphi_m}{\varepsilon_m} - \frac{a}{\varepsilon_m \beta l_m} c \right),$$

$$\text{bzw. } M = -\varepsilon_m \beta \left( z' + \frac{\psi_m}{\varepsilon_m} - \frac{l_m - a}{\varepsilon_m \beta l_m} c \right), \quad \dots \quad (8)$$

woraus sich ohne weiteres die in Abbildung 3 ausgeführte Konstruktion der Momenten-Einflusslinie ergibt; bemerkte sei, dass sich die neuen Bezugslinien  $FH'$  und  $GH$  auf der durch den Kernpunkt gelegten Wagrechten schneiden müssen. Der Multiplikator beträgt  $\varepsilon_m \cdot \beta$ .

Wirkt die Last  $P = 1$  links, bzw. rechts des Feldes  $m$ , dann ist das Kernmoment ausgedrückt durch:

$$M = H' \beta, \quad \text{bzw. } M = H \beta, \quad \dots \quad (9)$$

sodass die Einflusslinien des Horizontalschubes  $H$ , bzw.  $H'$  übereinstimmen mit den Einflusslinien der Biegungsmomente für alle Lastlagen außerhalb des Feldes  $m$ . Der Multiplikator ist im allgemeinen verschieden und beträgt z. B. im Felde  $k: \varepsilon_k \cdot \beta$ .

#### IV.

##### Einfluss einer Wärmeschwankung und Nachgiebigkeit der Widerlager.

Gesetzt, das Bogenmaterial erfahre eine gleichmässige Temperaturänderung um  $\pm t^0$  gegenüber dem ursprünglichen, spannungslosen Zustande, so entsteht zufolge der festgehaltenen Bogenenden ein Horizontalschub  $H$ ; die

<sup>1)</sup> Die drei Werte  $\varepsilon_m, \varphi_m, \psi_m$  genügen der Bedingung:

$$\varphi_m + \psi_m + v m_m \varepsilon_m = 1.$$

Verlängerung der ganzen Spannweite  $L$  beträgt, wenn ein Bogenende frei gelassen wird,  $w t L$ , unter  $w$  den Ausdehnungskoeffizienten des Bogenmaterials verstanden; diese Verlängerung ist nach früherem auch ausgedrückt durch  $H, \sum_{m+1}^n w_m$ , womit folgt:

$$w t L = H, \sum_{m+1}^n w_m$$

und daraus:

$$H_t = \frac{w t L}{\sum_{m+1}^n w_m} \quad \dots \quad \dots \quad \dots \quad (10)$$

Setzen wir in dieser Formel anstelle der durch die Temperaturänderung bewirkten Verschiebung des Bogenendes die durch seitliches Nachgeben der Widerlager verursachte Veränderung  $\Delta L$  der Gesamtspannweite, so entsteht für den sich einstellenden Horizontalschub:

$$H_{\Delta L} = \frac{\Delta L}{\sum_{m+1}^n w_m}.$$

Hierin ist  $\Delta L$  positiv, bzw. negativ für Verschiebungen nach innen, bzw. nach aussen.

Zum Schlusse sei erwähnt, dass die Ergebnisse der durchgeföhrten Untersuchung auch für den nach diesem Systeme ausgebildeten Fachwerkogen Gültigkeit behalten, sofern jene geringfügigen Abänderungen berücksichtigt werden, die bei Behandlung des fachwerkartigen Zweigelenkbogens gegenüber dem vollwandigen zu beachten sind.<sup>1)</sup>

In Abbildung 4 (S. 280) wurde nach dem eben beschriebenen Verfahren die Einflusslinie des Horizontalschubes für lotrechte Lastwirkung unter Zugrundelegung der Ausmasse des Tragwerkes der Marburger Draubrücke<sup>2)</sup> gezeichnet. Das bezeichnete Tragwerk besitzt drei Oeffnungen, und zwar ist:

$$l_1 = l_3 = 40,32 \text{ m}; \quad l_2 = 42,0 \text{ m}.$$

Die theoretische Bogenform ist parabolisch und die Pfeilhöhe der Schweraxe für die Seitenöffnungen beträgt:  $f_1 = f_3 = 10,056 \text{ m}$ , für die Mittelöffnung:  $f_2 = 10,280 \text{ m}$ . Jeder Halbbogen wurde in sechs Elemente zerlegt und hierauf die charakteristischen Werte in umstehenden Tabellen (Seite 280) ermittelt.

Die elastischen Gewichte wurden nun in den Antipolen der Elastizitätsellipsen (die in der Abbildung 4 nicht eingetragen sind) erst lotrecht, dann wagrecht wirkend gedacht und durch Seilpolygone in jeder Oeffnung vereinigt; bei lotrechtem Lastangriff ist die Polweite  $E w_1 = O A$  im ersten und dritten Felde,  $E w_2 = O_1 A_1$  im zweiten Felde, bei wagrechter Lastwirkung beträgt die Polweite  $1/4$  der vorigen. (Demnach ist  $v = 4$ )

Aus der Abbildung 4 (S. 280) entnimmt man die Schwerpunktsordinaten:

$$m_1 = m_3 = 6,9 \text{ m}; \quad m_2 = 6,8 \cdot m.$$

Daher ist der Horizontalschub für die erste und dritte Oeffnung nach Gleichung (1):

$$H = P \cdot \frac{w_1}{\sum_{m+1}^n w_m} z = \frac{8007}{167256} z = 0,048 z \text{ (also } K_1 = 0,048)$$

und für die Mittelöffnung:

$$H = P \cdot \frac{w_2}{\sum_{m+1}^n w_m} z = \frac{8200}{167256} z = 0,049 z \text{ (also } K_2 = 0,049).$$

Die analytische Untersuchung lieferte für die grösste Einflussordinate

der ersten Oeffnung:  $H = 0,2453$ ,

der Mittelöffnung:  $H = 0,2547$ .

Aus der Zeichnung entnimmt man dort für  $z = 5,1$  und  $z = 5,2$ , somit:

für die erste Oeffnung:  $H = 0,2448$ ;

und für die Mittelöffnung:  $H = 0,2548$ .

<sup>1)</sup> Hierzu vergl. Ritter: IV. Teil. S. 55 bis 59.

<sup>2)</sup> Vergl. Fussnote 1, S. 277 links.

## Beitrag zur Berechnung kontinuierlicher Bogenträger.

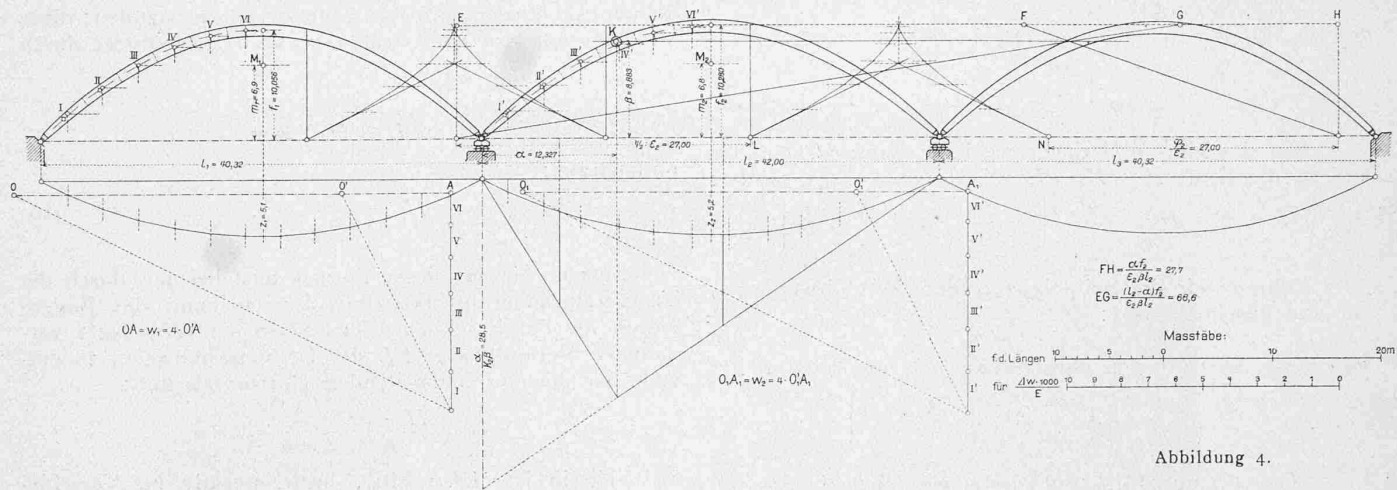


Abbildung 4.

## Charakteristische Werte der Seitenöffnung.

Schwerpunkt des Elementes	$\Delta s$	$J \cdot 1000$	$F \cdot 1000$	$\Delta w \cdot E = \frac{\Delta s y}{J}$	$i_1^m$	$i_2^m$
	$x^m$	$y^m$	$m^4$	$m^2$		
I	2,12	2,004	4,5	6,36	68	1418
II	5,40	4,665	4,1	12,19	86	1569
III	8,68	6,795	3,8	19,50	103	1324
IV	11,96	8,392	3,6	23,26	105	1300
V	15,24	9,457	3,4	26,00	106	1236
VI	18,52	9,989	3,2	27,43	107	1160
$Ew_1 = 8007 = Ew_3$						

Die Uebereinstimmung ist demnach befriedigend und kann bei Durchführung der Konstruktion in grösserem Maßstab noch erhöht werden. Der Horizontalschub infolge Temperaturänderung beträgt nach (10):

$$H_t = \frac{\alpha t (2l_1 + l_2)}{\sum w m} = \frac{\alpha t (2l_1 + l_2) E}{2 \cdot 167 \cdot 256}.$$

Wenn  $E = 21500000 \text{ t/m}^2$  und  $\alpha = 0,000012$  gesetzt wird, so entsteht:

$$H_t = 0,0946 t \text{ und beispielsweise für } t = 35^\circ \text{ C}$$

$$H_t = 3,311 \text{ t.}$$

Die analytische Untersuchung lieferte hierfür:  $H_t = 3,465 t$ . In Abbildung 4 ist außerdem die Einflusslinie für das Biegemoment um einen obigen Kernpunkt der Mittelöffnung dargestellt, der die Koordinaten  $a = 12,327 \text{ m}$ ;  $\beta = 8,883 \text{ m}$  besitzt.

Nach (3) wird wegen  $K_2 = 0,049$ :  
im Mittelfelde  $M = 0,435 (28,5 A - z_2)$

und in den Seitenfeldern wegen  $K_1 = 0,048$ :

$$M = -0,426 z_1.$$

Bei wagrecht wirkender Einzellast berechnet man:

$$e_1 = \frac{w_1}{\sum w m} = 0,0119; \quad e_2 = \frac{w_2}{\sum w m} = 0,0123;$$

$$q_1 = \frac{\sum w m}{\sum w m} = 0,663; \quad q_2 = \frac{\sum w m}{\sum w m} = 0,3303;$$

$$\psi_1 = 0; \quad \psi_2 = \frac{\sum w m}{\sum w m} = 0,3303.$$

$$\frac{q_1}{\epsilon_1} = 55,7; \quad \frac{\psi_1}{\epsilon_1} = 0; \quad \frac{q_2}{\epsilon_2} = \frac{\psi_2}{\epsilon_2} = 27,0.$$

Damit bestimmt sich die Einflusslinie des Biegemomentes um den vorhin gewählten obigen Kernpunkt bei wagrechter Belastung aus:

$$M = 0,109 (z_2 + 27 - 113 \frac{c}{l})$$

## Charakteristische Werte der Mittelöffnung.

Schwerpunkt des Elementes	$\Delta s$	$J \cdot 1000$	$F \cdot 1000$	$\Delta w \cdot E = \frac{\Delta s y}{J}$	$i_1^m$	$i_2^m$
	$x^m$	$y^m$	$m^4$	$m^2$		
I'	2,19	2,032	4,6	6,02	68	1550
II'	5,61	4,759	4,2	12,74	93	1570
III'	9,03	6,940	3,9	20,42	110	1330
IV'	12,45	8,576	3,8	24,34	112	1340
V'	15,87	9,667	3,6	27,20	114	1290
VI'	19,29	10,212	3,5	31,99	121	1120
$Ew_2 = 8200$						

(Last im Mittelfelde rechts des betrachteten Querschnittes)

$$M = -0,109 (z'_2 + 27 - 272 \frac{c}{l})$$

(Last im Mittelfelde links des betrachteten Querschnittes)  
und:  $M = 0,109 z$ , Last im dritten Felde,  
endlich:  $M = 0,106 z'$ , Last im ersten Felde.

Die Darstellung der bezüglichen Einflusslinien bedarf hiernach keiner weiteren Erklärung.

## Wohnhaus Musikdirektor V. Andreae, Zürich.

Erbaut von Architekt Eugen Probst in Zürich.

(Mit Tafel 63 bis 66.)

Beim Entwurf des Wohnhauses für Herrn Musikdirektor Volkmar Andreae war außer den normalen Wohnbedürfnissen auch Anforderungen besonderer Art zu genügen. Der Bauherr brauchte einen geräumigen Musiksaal, der nicht nur häufigen geselligen Anlässen, sondern auch den zahlreichen Solisten-Proben zu dienen hat, die er bei sich zu Hause abhält. Von diesem Saal war jegliches vom Hausbetriebe herrührendes Geräusch sorgfältig fern zu halten, weshalb einerseits alle Wirtschaftsräume mit separatem Zugang ins Untergeschoss, andererseits die Wohnräume der Familie ins Obergeschoss verlegt worden sind, sodass das ganze Erdgeschoss für die Geselligkeitsräume verfügbar geblieben ist (vgl. die Grundrisse S. 281). Aehnlich wie beim Umbau der Kuranstalt Brestenberg (vgl. S 258) wurde die erforderliche Höhe des Musiksaals durch Tieferlegung seines Fussbodens gewonnen (Tafel 64). Eine kleine, trauliche Bibliothek in direkter Verbindung mit dem Musiksaal, dient sowohl Besprechungen in engem Kreise als auch namentlich in ihrer dunklen Kammecke dem Hausherrn zu gelegentlicher Ruhe (Tafel 65). Es ist zu beachten, dass die Türe, die aus dieser Kammecke in den Flur hinausführt, sozusagen ausschliesslich nur vom Hausherrn benutzt wird. In die seitlichen Nischen des Musiksaals sind vorhandene Möbelstücke eingebaut; die in hellen Tönen bemalten Wände